

Starkniederschlagshöhen und -spenden gemäß KOSTRA-DWD-2010R

Auswertungszeitraum von 1951 - 2010, Januar - Dezember

Rasterfeld: 52029

Zeile: 52

Spalte: 29

Seite: 1/2

| Dauerstufe D | | Wiederkehrzeit T | | | | | | | | | | | | | | | | | |
|--------------|-----|------------------|------------|------|------------|------|------------|------|------------|------|------------|------|------------|------|------------|------|------------|-------|------------|
| | | 1 a | | 2 a | | 3 a | | 5 a | | 10 a | | 20 a | | 30 a | | 50 a | | 100 a | |
| min | Std | mm | l / (s ha) | mm | l / (s ha) | mm | l / (s ha) | mm | l / (s ha) | mm | l / (s ha) | mm | l / (s ha) | mm | l / (s ha) | mm | l / (s ha) | mm | l / (s ha) |
| 5 | | 5,1 | 170,0 | 6,7 | 223,3 | 7,7 | 256,7 | 8,9 | 296,7 | 10,6 | 353,3 | 12,2 | 406,7 | 13,2 | 440,0 | 14,4 | 480,0 | 16,1 | 536,7 |
| 10 | | 8,0 | 133,3 | 10,3 | 171,7 | 11,6 | 193,3 | 13,3 | 221,7 | 15,6 | 260,0 | 17,9 | 298,3 | 19,2 | 320,0 | 20,9 | 348,3 | 23,1 | 385,0 |
| 15 | | 10,0 | 111,1 | 12,7 | 141,1 | 14,3 | 158,9 | 16,3 | 181,1 | 19,1 | 212,2 | 21,8 | 242,2 | 23,4 | 260,0 | 25,4 | 282,2 | 28,1 | 312,2 |
| 20 | | 11,4 | 95,0 | 14,5 | 120,8 | 16,3 | 135,8 | 18,6 | 155,0 | 21,7 | 180,8 | 24,8 | 206,7 | 26,6 | 221,7 | 28,9 | 240,8 | 32,0 | 266,7 |
| 30 | | 13,2 | 73,3 | 17,0 | 94,4 | 19,1 | 106,1 | 21,9 | 121,7 | 25,6 | 142,2 | 29,3 | 162,8 | 31,5 | 175,0 | 34,2 | 190,0 | 37,9 | 210,6 |
| 45 | | 14,8 | 54,8 | 19,3 | 71,5 | 21,9 | 81,1 | 25,2 | 93,3 | 29,7 | 110,0 | 34,1 | 126,3 | 36,7 | 135,9 | 40,0 | 148,1 | 44,5 | 164,8 |
| 60 | | 15,8 | 43,9 | 20,9 | 58,1 | 23,8 | 66,1 | 27,6 | 76,7 | 32,7 | 90,8 | 37,7 | 104,7 | 40,7 | 113,1 | 44,4 | 123,3 | 49,5 | 137,5 |
| 90 | | 17,3 | 32,0 | 22,6 | 41,9 | 25,7 | 47,6 | 29,6 | 54,8 | 34,9 | 64,6 | 40,2 | 74,4 | 43,3 | 80,2 | 47,2 | 87,4 | 52,5 | 97,2 |
| 120 | 2 | 18,4 | 25,6 | 23,8 | 33,1 | 27,0 | 37,5 | 31,1 | 43,2 | 36,5 | 50,7 | 42,0 | 58,3 | 45,2 | 62,8 | 49,2 | 68,3 | 54,7 | 76,0 |
| 180 | 3 | 20,1 | 18,6 | 25,8 | 23,9 | 29,1 | 26,9 | 33,3 | 30,8 | 39,0 | 36,1 | 44,7 | 41,4 | 48,1 | 44,5 | 52,3 | 48,4 | 58,0 | 53,7 |
| 240 | 4 | 21,3 | 14,8 | 27,2 | 18,9 | 30,7 | 21,3 | 35,0 | 24,3 | 40,9 | 28,4 | 46,8 | 32,5 | 50,2 | 34,9 | 54,6 | 37,9 | 60,5 | 42,0 |
| 360 | 6 | 23,3 | 10,8 | 29,5 | 13,7 | 33,1 | 15,3 | 37,6 | 17,4 | 43,7 | 20,2 | 49,9 | 23,1 | 53,5 | 24,8 | 58,0 | 26,9 | 64,2 | 29,7 |
| 540 | 9 | 25,5 | 7,9 | 31,9 | 9,8 | 35,6 | 11,0 | 40,4 | 12,5 | 46,8 | 14,4 | 53,2 | 16,4 | 57,0 | 17,6 | 61,7 | 19,0 | 68,1 | 21,0 |
| 720 | 12 | 27,1 | 6,3 | 33,7 | 7,8 | 37,6 | 8,7 | 42,5 | 9,8 | 49,1 | 11,4 | 55,7 | 12,9 | 59,6 | 13,8 | 64,5 | 14,9 | 71,1 | 16,5 |
| 1080 | 18 | 29,6 | 4,6 | 36,5 | 5,6 | 40,6 | 6,3 | 45,7 | 7,1 | 52,6 | 8,1 | 59,5 | 9,2 | 63,5 | 9,8 | 68,6 | 10,6 | 75,6 | 11,7 |
| 1440 | 24 | 31,5 | 3,6 | 38,6 | 4,5 | 42,8 | 5,0 | 48,1 | 5,6 | 55,2 | 6,4 | 62,3 | 7,2 | 66,5 | 7,7 | 71,8 | 8,3 | 78,9 | 9,1 |
| 2880 | 48 | 39,1 | 2,3 | 46,9 | 2,7 | 51,4 | 3,0 | 57,2 | 3,3 | 65,0 | 3,8 | 72,8 | 4,2 | 77,4 | 4,5 | 83,1 | 4,8 | 90,9 | 5,3 |
| 4320 | 72 | 44,3 | 1,7 | 52,5 | 2,0 | 57,3 | 2,2 | 63,3 | 2,4 | 71,5 | 2,8 | 79,8 | 3,1 | 84,6 | 3,3 | 90,6 | 3,5 | 98,8 | 3,8 |

Angaben in mm: Bemessungsniederschlagswerte h(n)

Angaben in l / (s ha): Regenspende R(n) mit $R(n) = h(n) \times 1,666667 / D[\text{min}]$

Toleranzbereiche:

+/- 10 % für $1 \text{ a} \leq T \leq 5 \text{ a}$

+/- 15 % für $5 \text{ a} < T \leq 50 \text{ a}$

+/- 20 % für $50 \text{ a} < T \leq 100 \text{ a}$

Datenbasis: KOSTRA-DWD-2010R des Deutschen Wetterdienstes. Die Regenspende wurde auf Basis des Bemessungsniederschlags zur jeweiligen Andauer berechnet.

Für die Richtigkeit und Aktualität der Angaben wird keine Gewähr übernommen. Erstellt 07/2022.

Starkniederschlagshöhen und -spenden gemäß KOSTRA-DWD-2010R

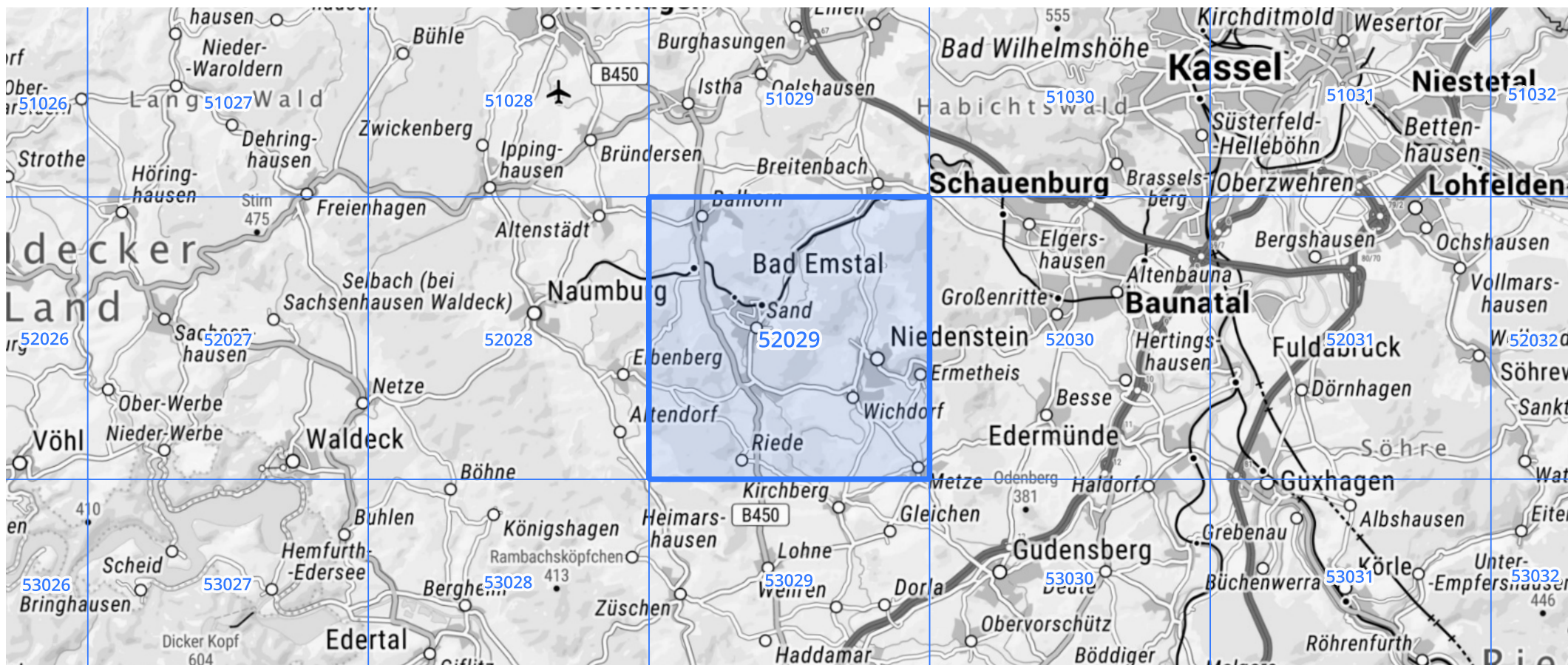
Auswertungszeitraum von 1951 - 2010, Januar - Dezember

Rasterfeld: 52029

Zeile: 52

Spalte: 29

Seite: 2/2



Quelle Rasterdaten: KOSTRA-DWD-2010R des Deutschen Wetterdienstes.

Kartendarstellung: © Bundesamt für Kartographie und Geodäsie (2022), Datenquellen: https://sgx.geodatenzentrum.de/web_public/gdz/datenquellen/Datenquellen_TopPlusOpen.html

Für die Richtigkeit und Aktualität der Angaben wird keine Gewähr übernommen. Erstellt 07/2022.